

Starkniederschlagshöhen und -spenden gemäß KOSTRA-DWD-2010R

Auswertungszeitraum von 1951 - 2010, Januar - Dezember

Rasterfeld: 8032

Zeile: 8

Spalte: 32

Seite: 1/2

| Dauerstufe D | | Wiederkehrzeit T | | | | | | | | | | | | | | | | | |
|--------------|-----|------------------|------------|------|------------|------|------------|------|------------|------|------------|------|------------|------|------------|-------|------------|-------|------------|
| | | 1 a | | 2 a | | 3 a | | 5 a | | 10 a | | 20 a | | 30 a | | 50 a | | 100 a | |
| min | Std | mm | l / (s ha) | mm | l / (s ha) | mm | l / (s ha) | mm | l / (s ha) | mm | l / (s ha) | mm | l / (s ha) | mm | l / (s ha) | mm | l / (s ha) | mm | l / (s ha) |
| 5 | | 5,0 | 166,7 | 6,2 | 206,7 | 7,0 | 233,3 | 7,9 | 263,3 | 9,1 | 303,3 | 10,3 | 343,3 | 11,1 | 370,0 | 12,0 | 400,0 | 13,2 | 440,0 |
| 10 | | 7,8 | 130,0 | 9,6 | 160,0 | 10,7 | 178,3 | 12,0 | 200,0 | 13,8 | 230,0 | 15,6 | 260,0 | 16,6 | 276,7 | 18,0 | 300,0 | 19,8 | 330,0 |
| 15 | | 9,6 | 106,7 | 11,8 | 131,1 | 13,2 | 146,7 | 14,8 | 164,4 | 17,0 | 188,9 | 19,3 | 214,4 | 20,6 | 228,9 | 22,3 | 247,8 | 24,5 | 272,2 |
| 20 | | 10,9 | 90,8 | 13,5 | 112,5 | 15,0 | 125,0 | 16,9 | 140,8 | 19,6 | 163,3 | 22,2 | 185,0 | 23,7 | 197,5 | 25,6 | 213,3 | 28,3 | 235,8 |
| 30 | | 12,5 | 69,4 | 15,7 | 87,2 | 17,7 | 98,3 | 20,1 | 111,7 | 23,3 | 129,4 | 26,6 | 147,8 | 28,5 | 158,3 | 30,9 | 171,7 | 34,2 | 190,0 |
| 45 | | 13,9 | 51,5 | 17,9 | 66,3 | 20,3 | 75,2 | 23,3 | 86,3 | 27,4 | 101,5 | 31,4 | 116,3 | 33,8 | 125,2 | 36,8 | 136,3 | 40,8 | 151,1 |
| 60 | | 14,7 | 40,8 | 19,4 | 53,9 | 22,2 | 61,7 | 25,7 | 71,4 | 30,4 | 84,4 | 35,2 | 97,8 | 38,0 | 105,6 | 41,5 | 115,3 | 46,2 | 128,3 |
| 90 | | 16,2 | 30,0 | 21,3 | 39,4 | 24,3 | 45,0 | 28,1 | 52,0 | 33,2 | 61,5 | 38,3 | 70,9 | 41,3 | 76,5 | 45,1 | 83,5 | 50,2 | 93,0 |
| 120 | 2 | 17,4 | 24,2 | 22,8 | 31,7 | 26,0 | 36,1 | 30,0 | 41,7 | 35,4 | 49,2 | 40,8 | 56,7 | 43,9 | 61,0 | 47,9 | 66,5 | 53,3 | 74,0 |
| 180 | 3 | 19,2 | 17,8 | 25,1 | 23,2 | 28,5 | 26,4 | 32,8 | 30,4 | 38,6 | 35,7 | 44,4 | 41,1 | 47,8 | 44,3 | 52,1 | 48,2 | 57,9 | 53,6 |
| 240 | 4 | 20,6 | 14,3 | 26,8 | 18,6 | 30,4 | 21,1 | 34,9 | 24,2 | 41,1 | 28,5 | 47,2 | 32,8 | 50,8 | 35,3 | 55,4 | 38,5 | 61,5 | 42,7 |
| 360 | 6 | 22,8 | 10,6 | 29,4 | 13,6 | 33,3 | 15,4 | 38,2 | 17,7 | 44,8 | 20,7 | 51,5 | 23,8 | 55,4 | 25,6 | 60,2 | 27,9 | 66,9 | 31,0 |
| 540 | 9 | 25,2 | 7,8 | 32,3 | 10,0 | 36,5 | 11,3 | 41,8 | 12,9 | 49,0 | 15,1 | 56,1 | 17,3 | 60,3 | 18,6 | 65,6 | 20,2 | 72,8 | 22,5 |
| 720 | 12 | 27,0 | 6,3 | 34,6 | 8,0 | 39,0 | 9,0 | 44,6 | 10,3 | 52,1 | 12,1 | 59,7 | 13,8 | 64,1 | 14,8 | 69,7 | 16,1 | 77,2 | 17,9 |
| 1080 | 18 | 29,8 | 4,6 | 38,0 | 5,9 | 42,8 | 6,6 | 48,8 | 7,5 | 56,9 | 8,8 | 65,1 | 10,0 | 69,8 | 10,8 | 75,9 | 11,7 | 84,0 | 13,0 |
| 1440 | 24 | 32,0 | 3,7 | 40,6 | 4,7 | 45,6 | 5,3 | 52,0 | 6,0 | 60,6 | 7,0 | 69,2 | 8,0 | 74,2 | 8,6 | 80,6 | 9,3 | 89,2 | 10,3 |
| 2880 | 48 | 40,4 | 2,3 | 49,9 | 2,9 | 55,4 | 3,2 | 62,4 | 3,6 | 71,9 | 4,2 | 81,4 | 4,7 | 86,9 | 5,0 | 93,9 | 5,4 | 103,4 | 6,0 |
| 4320 | 72 | 46,3 | 1,8 | 56,3 | 2,2 | 62,1 | 2,4 | 69,5 | 2,7 | 79,5 | 3,1 | 89,5 | 3,5 | 95,3 | 3,7 | 102,7 | 4,0 | 112,7 | 4,3 |

Angaben in mm: Bemessungsniederschlagswerte h(n)

Angaben in l / (s ha): Regenspende R(n) mit $R(n) = h(n) \times 1,666667 / D[\text{min}]$

Toleranzbereiche:

+/- 10 % für $1 \text{ a} \leq T \leq 5 \text{ a}$

+/- 15 % für $5 \text{ a} < T \leq 50 \text{ a}$

+/- 20 % für $50 \text{ a} < T \leq 100 \text{ a}$

Datenbasis: KOSTRA-DWD-2010R des Deutschen Wetterdienstes. Die Regenspende wurde auf Basis des Bemessungsniederschlags zur jeweiligen Andauer berechnet.

Für die Richtigkeit und Aktualität der Angaben wird keine Gewähr übernommen. Erstellt 07/2022.

Starkniederschlagshöhen und -spenden gemäß KOSTRA-DWD-2010R

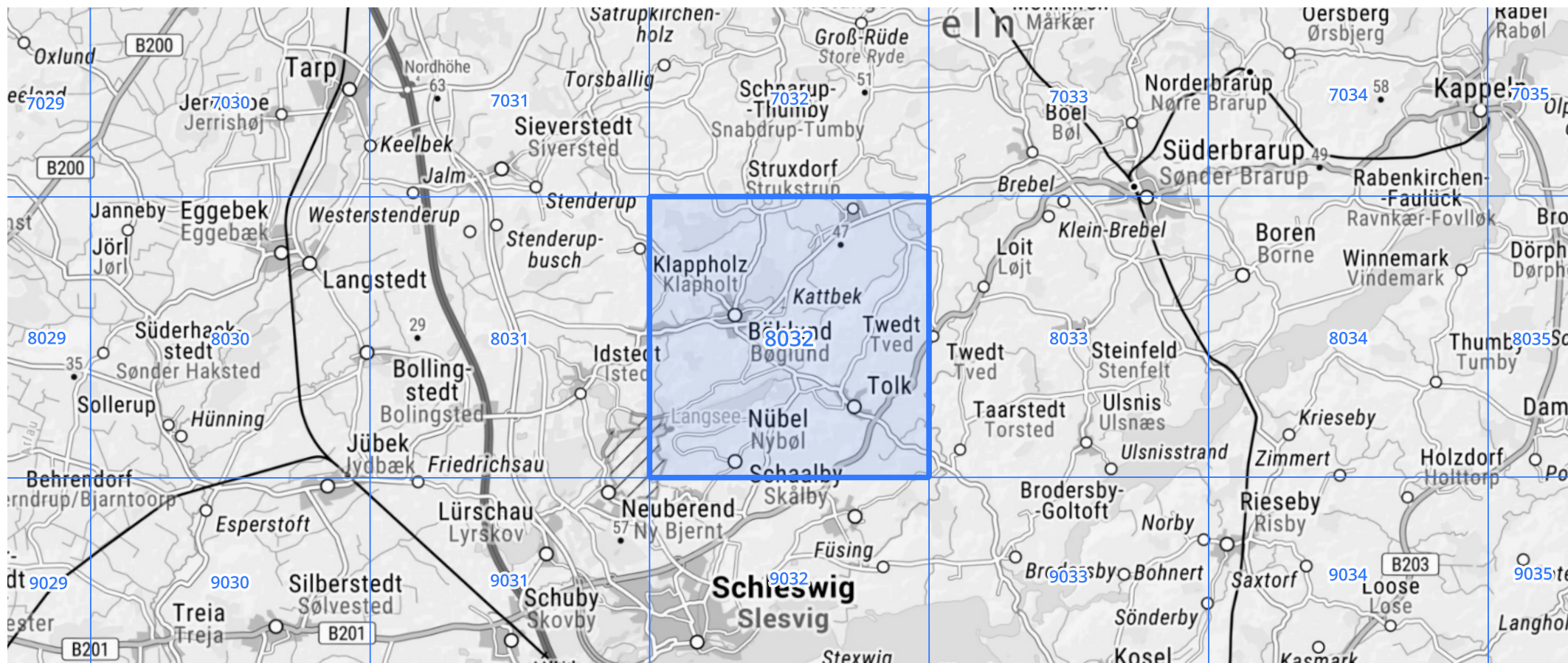
Auswertungszeitraum von 1951 - 2010, Januar - Dezember

Rasterfeld: 8032

Zeile: 8

Spalte: 32

Seite: 2/2



Quelle Rasterdaten: KOSTRA-DWD-2010R des Deutschen Wetterdienstes.

Kartendarstellung: © Bundesamt für Kartographie und Geodäsie (2022), Datenquellen: https://sgx.geodatenzentrum.de/web_public/gdz/datenquellen/Datenquellen_TopPlusOpen.html

Für die Richtigkeit und Aktualität der Angaben wird keine Gewähr übernommen. Erstellt 07/2022.